ступени (номера таксонов) и очень редко наблюдался переход сразу через несколько ступеней. Экономически это означает, что у большинства предприятий отсутствуют особо резкие отклонения между уровнями выполнения плановых и фактических показателей. К передовым предприятиям, для которых $\xi > \eta$, были отнесены объекты a_1 , a_4 , a_{10} , а к отстающим — a_{11} , a_{13} , a_{15} , a_{16} . Остальные работали на среднем уровне. Резервы роста выпуска продукции представителей таксонов приведены в табл. 3.

Резервы роста выпуска продукции представителей таксонов приведены в табл. 3. Анализ динамики объемов производства продукции и возможностей роста для представителя первого таксона показал, что наблюдается тенденция увеличения выпуска при постоянном уровне его резерва, т. е. происходит интенсивное расширение производства. Предприятия второго таксона характеризуются стабильной работой, выпуск и резерв роста находятся на одном уровне; четвертого — экстенсивным расширением производства, т. е. выпуск и резерв роста имеют тенденцию к увеличе-

Таблица 3
Резервы роста выпуска продукции представителей таксонов

Таксон	i	2	3	4
Представитель	a ₁₂	a ₈	26,3	a ₁₀
Резерв роста,%	5,7	16,8		10,1

нию. Предприятия третьего таксона увеличивают резерв роста выпуска, что соответ-

ствует уменьшению эффективности производства.

Как выявила практическая реализация предложенного подхода, качество моделей значительно улучшается при увеличении перечня используемых технико-экономических показателей с последующим отбором значимых признаков. К сожалению, существующие формы отчетности рыбообрабатывающих предприятий не позволяют получить ряд для исследования признаков.

ЛИТЕРАТУРА

1. Айвазян С. А., Бежаева З. И., Староверов О. В. Классификация многомерных наблюдений. М.: Статистика, 1974.

2. Харман Г. Современный факторный анализ. М.: Статистика, 1972.

3. Френкель А. А. Обобщенные показатели и их применение в экономике.— В кн.: Экономико-математические исследования затрат и результатов. М.: Наука, 1976.

Поступила в редакцию 22 XI 1977

О ВЫЧИСЛИТЕЛЬНЫХ АЛГОРИТМАХ НЕЛИНЕЙНОГО ПРОГРАММИРОВАНИЯ, ОСНОВАННЫХ НА АППРОКСИМАЦИИ ФУНКЦИИ ВОЗМУЩЕНИЙ

Сурис Т.Г., Цирлин А.М.

(Москва)

1. ПОСТАНОВКА ЗАДАЧИ

Рассмотрим задачу нелинейного программирования (НП) *

$$f_0(x) \to \min_{x \in X} f_i(x) = 0, \quad i = 1, \dots, m,$$
 (1)

где функции f_0 , f_i определены на множестве X евклидова пространства E_n . Функцией возмущений для (1) называют функцию

$$f_0^*(c) = \min_{x \in X} f_0(x)/f_i(x) = c_i, \quad i = 1, \dots, m.$$
 (2)

^{*} Все полученные ниже результаты переносятся и на задачи с условиями в форме неравенств $f_i(x) \ge 0, \ i=1,\ldots,m$.

Ясно, что $f_0^*(0)$ представляет собой оптимальное значение (1), т. е. величину функции f_0 на решении x^* .

Покажем, как связана $f_0^*(c)$ задачи НП с функцией возмущений

$$R^{*}(c,\lambda) = \min_{x \in X} [f_{0}(x) + \varphi(f,\lambda)]/f_{i}(x) = c_{i}, \quad i=1,\ldots,m,$$
(3)

задачи

$$R(x,\lambda) = f_0(x) + \varphi(f,\lambda) \rightarrow \min_{x \in X} f_i(x) = 0, \qquad i = 1, \dots, m,$$
(4)

где $f=(f_1,\ldots,f_m)$, а функция ф такова, что ф(0, λ)=0 для любого λ е Λ , т. е. это слагаемое исчезает на множестве допустимых решений задачи (1), и на этом множестве целевые функции (1) и (4) совпадают. Очевидно

$$R^{\bullet}(c, \lambda) = f_0^{\bullet}(c) + \varphi(c, \lambda). \tag{5}$$

Ряд вычислительных алгоритмов решения задачи НП основан на выборе вида функции ϕ и параметров λ , для которых абсолютный минимум по c $R^*(c, \lambda)$ достигался бы в точке c=0. В этом случае $R^*(0, \lambda)=f_0^*(0)$, т. е. является оптимальным значением задачи НП, вектор же x^* , при котором получается абсолютный минимум в (3), окажется решением (1). Так как вид функции $f_0^*(c)$ неизвестен, для выбора параметров λ может быть использована та или иная аппроксимация $f_0^*(c)$, коэффициенты которой уточняются итерационным методом.

Покажем, что с этой точки зрения известный алгоритм «множителей» (алгоритм Пауэлла) [1] основан на линейной аппроксимации функции возмущений и что без существенного усложнения вычислений сходимость алгоритма можно ускорить

за счет квадратичной аппроксимации этой функции.

2. АЛГОРИТМ ПАУЭЛЛА

Зададим функцию $\varphi(f, \lambda)$ в форме

$$\varphi(f,\lambda) = -\sum_{i=1}^{m} l_i f_i(x) + \frac{1}{2} \sum_{i=1}^{m} \alpha_i f_i^2(x),$$
 (6)

где вектор λ имеет составляющие $\lambda = (l_1, \ldots, l_m, \alpha_1, \ldots, \alpha_m)$. При этом $R^*(c, \lambda)$ примет вид

$$R^{*}(c,\lambda) = f_{0}^{*}(c) - \sum_{i=1}^{m} l_{i}c_{i} + \frac{1}{2} \sum_{i=1}^{m} \alpha_{i}c_{i}^{2}, \tag{7}$$

а функция $R(x, \lambda)$ —

$$R(x,\lambda) = f_0(x) - \sum_{i=1}^{m} l_i f_i(x) + \frac{1}{2} \sum_{i=1}^{m} \alpha_i f_i^2(x).$$
 (8)

Точке $x^*(\lambda)$, в которой достигается минимум функции $R(x, \lambda)$ по x, соответствует $c^*(\lambda) = f(x^*(\lambda))$, причем $c^*(\lambda)$ является точкой минимума $R^*(c, \lambda)$. Аппроксимируем функцию $f_0^*(c)$ линейной зависимостью

$$f_0^*(c) = a + \sum_{i=1}^m k_i c_i.$$
 (9)

Положим $\tilde{R}^*(c,\lambda) = \tilde{f}_0^*(c) + \varphi(c,\lambda)$. В точке минимума \tilde{c}^* функции \tilde{R}^* выполнено условие

$$\frac{\partial \tilde{R}^*(c,\lambda)}{\partial c_i} = \frac{\partial}{\partial c_i} \left[a + \sum_{i=1}^m (k_i - l_i) \tilde{c}_i + \frac{1}{2} \sum_{i=1}^m \alpha_i \tilde{c}_i^2 \right] = 0, \tag{10}$$

откуда

$$\tilde{c}_i^* = \frac{l_i - k_i}{\alpha_i}, \quad i = 1, \dots, m. \tag{11}$$

Для равенства \tilde{c}_i =0 нужно выбрать $l_i = k_i$, при этом k_i определяется следующим образом.

1. Задаемся начальными значениями $\alpha_i^0 > 0$, $l_i^0 = 0$, $i = 1, \ldots, m$, и находим минимум (8) на множестве X. Обозначим точку, в которой получается этот минимум, через x^{0*} , а значение $f_i(x^{0*})$ — через \tilde{c}_i^0 , $i = 1, \ldots, m$. Очевидно, в точке $\tilde{c}^0 = (\tilde{c}_1^0, \ldots, \tilde{c}_m^0)$ выражение $R^*(c, \lambda)$ достигает минимума по c. Поэтому, согласно (11),

$$\tilde{c}_{i}{}^{0} = \frac{l_{i}{}^{0} - k_{i}{}^{0}}{\alpha_{i}{}^{0}}.$$
(12)

Из (12) находим k_i^0 (начальные значения коэффициентов анпроксимации (9))

$$k_i^0 = l_i^0 - \alpha_i^0 \tilde{c}_i^0. \tag{13}$$

2. На следующей итерации выбираем l_i таким образом, чтобы $\tilde{c}_i^*(l_i)$ было равно нулю, т. е. $l_i! = k_i^{\ 0} = l_i^{\ 0} - \alpha_i^{\ 0} \tilde{c}_i^{\ 0}. \tag{14}$

В дальнейшем, в µ-м цикле,

$$l_i^{\mu} = k_i^{\mu-1} = l_i^{\mu-1} - \alpha_i^{\mu-1} \tilde{c}_i^{\mu-1}$$
 (15)

Что касается α_i , то величину этих коэффициентов не меняют, если от $(\mu-2)$ -го цикла к $(\mu-1)$ -му модуль вектора невязок уменьшается довольно быстро; в прогивном случае α_i увеличивают (см., например, [1])

$$\alpha_{i}^{\mu} = \alpha_{i}^{\mu-1}$$
, если $|\tilde{c}_{i}^{\mu-1}|/|\tilde{c}_{i}^{\mu-2}| \leq 0.25$, $\alpha_{i}^{\mu} = A\alpha_{i}^{\mu-1}$, если $|\tilde{c}_{i}^{\mu-1}|/|\tilde{c}_{i}^{\mu-2}| > 0.25$, (16)

 $A \ge 2$.

Недостатком этого алгоритма является то, что отсутствие сведений о кривизне функции $f_0^*(c)$ заставляет выбирать α_i достаточно большим для того, чтобы гарантировать выпуклость $R^*(c, \lambda)$. Увеличение же коэффициентов α_i осложняет определение минимума $R(x, \lambda)$ на множестве X, так как ведет к появлению оврагов у этой функции.

3. АЛГОРИТМ, ОСНОВАННЫЙ НА КВАДРАТИЧНОЙ АППРОКСИМАЦИИ ФУНКЦИИ ВОЗМУЩЕНИЙ

Изложенный ниже алгоритм предполагает

$$\tilde{f}_0^*(c) = a + \sum_{i=1}^m \left(k_i c_i + \frac{1}{2} r_i c_i^2 \right). \tag{17}$$

Функции $R^*(c, \lambda)$ и $R(x, \lambda)$ имеют соответственно вид (7) и (8). Минимум \tilde{R}^* достигается в точке \tilde{c}^* , в которой выполняется условие стационарности функции $\tilde{R}^*(c, \lambda)$

$$\frac{\partial \tilde{R}^{\bullet}(c,\lambda)}{\partial c_{i}} = \frac{\partial}{\partial c_{i}} \left[a + \sum_{i=1}^{m} (k_{i} - l_{i}) \tilde{c}_{i} + \frac{1}{2} \sum_{i=1}^{m} (r_{i} + \alpha_{i}) \tilde{c}_{i}^{2} \right] = 0, \tag{18}$$

откуда

$$\tilde{c}_i \cdot = \frac{l_i - k_i}{r_i + \alpha_i} \,. \tag{19}$$

Для обеспечения равенства с =0 нужно выбрать

$$l_i = k_i. \tag{20}$$

Для того чтобы точки, удовлетворяющие (18), были точками минимума функции $R^*(c,\lambda)$, потребуем выполнения неравенств

$$\frac{\partial^2 \tilde{R}^{\bullet}(c,\lambda)}{\partial c_i^2} = \frac{\partial^2}{\partial c_i^2} \left[a + \sum_{i=1}^m (k_i - l_i) \tilde{c}_i + \frac{1}{2} \sum_{i=1}^m (r_i + \alpha_i) \tilde{c}_i^2 \right] > 0, \tag{21}$$

откуда

$$\alpha_i > -r_i,$$
 (22)

а чтобы а; отвечали условию (22) и были положительны, принимаем

$$\alpha_i = p | r_i | -r_i, \tag{23}$$

где p > 1.

В отличие от случая линейной аппроксимации коэффициенты аппроксимирующего выражения (16) можно определить лишь по результатам двух циклов вычислений вектора невязок c^* , для которого функция $R^*(c, \lambda)$ стационарна. Знание же коэффициентов k_i и r_i позволит обоснованно выбрать не только l_i , но и α_i .

Вычисления проводятся в такой последовательности.

1. Задаемся начальными значениями $\alpha_i^0 > 0$, $l_i^0 = 0$, $i = 1, \ldots, m$, и находим минимум (8) и вектор невязок \tilde{c}^0 в точке минимума.

2. Рассчитываем по формуле (13) k_i и выбираем

$$l_i^1 = k_i^0 = l_i^0 - \alpha_i^0 \tilde{c}_i^0,$$

 $\alpha_i^1 = \alpha_i^0, \quad i = 1, ..., m.$

Вновь определяем минимум (8) и соответствующий этому минимуму вектор \tilde{c}^1 . Для расчета параметров k_i и r_i имеем систему уравнений, вытекающую из (19)

$$\tilde{c}_{i}^{0} = \frac{l_{i}^{0} - k_{i}}{r_{i} + \alpha_{i}^{0}},$$

$$\tilde{c}_{i}^{1} = \frac{l_{i}^{1} - k_{i}}{r_{i} + \alpha_{i}^{1}},$$
(24)

решая которую относительно r_i и k_i , получим коэффициенты аппроксимирующего выражения (17) r_i^1 и k_i^1

$$r_{i}^{1} = \frac{l_{i}^{0} - l_{i}^{1} - |(\tilde{c}_{i}^{0} \alpha_{i}^{0} - \tilde{c}_{i}^{1} \alpha_{i}^{1})}{\tilde{c}_{i}^{0} - \tilde{c}_{i}^{1}}, \quad i=1,\dots, m.$$

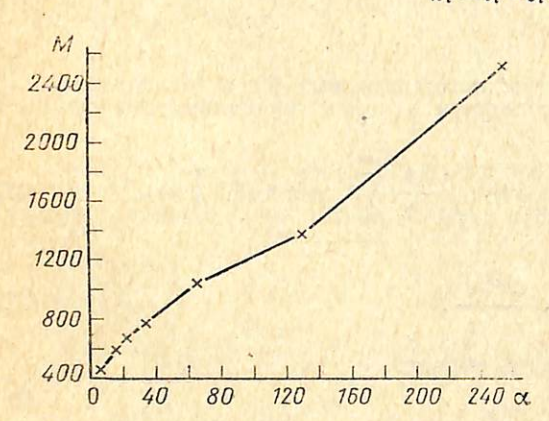
$$k_{i}^{1} = l_{i}^{1} - \tilde{c}_{i}^{1}(r_{i}^{1} + \alpha_{i}^{1}). \tag{25}$$

В дальнейшем в и-м цикле из рекуррентных соотношений

$$r_{i}^{\mu} = \frac{l_{i}^{\mu-1} - l_{i}^{\mu} - (\tilde{c}_{i}^{\mu-1} \alpha_{i}^{\mu-1} - \tilde{c}_{i}^{\mu} \alpha_{i}^{\mu})}{\tilde{c}_{i}^{\mu-1} - \tilde{c}_{i}^{\mu}}, \qquad (26)$$

$$i = 1, \dots, m,$$

$$k_i^{\mu} = l_i^{\mu} - \tilde{c}_i^{\mu} (r_i^{\mu} + \alpha_i^{\mu})$$



Зависимость числа шагов поиска безусловного минимума *М* от величины параметра α

выбираем значения множителей li и а

$$l_i^{\mu+1} = k_i^{\mu}, \quad i=1,\dots,m.$$

$$\alpha_i^{\mu+1} = p |r_i^{\mu}| - r_i^{\mu},$$
(27)

В случае, если $\tilde{c}_i^{\mu-1}-\tilde{c}_i^{\mu}=0$, принимаем $r_i^{\mu}=0$, $\alpha_i^{\mu+1}=\alpha_i^{\mu}$. Опыт расчетов показал, что скорость сходимости алгоритма увеличивается, если второе из равенств (27) дополнить неравенством

$$\alpha_i^{\mu+1} \ge \alpha_i^{\mu}$$
 для $\mu \ge 2$. (27')

Соотношения (26), (27) с начальными условиями

$$\begin{array}{ccc} \alpha_{i}^{1} = \alpha_{i}^{0} > 0, & & \\ l_{i}^{0} = 0, & & \\ l_{i}^{1} = l_{i}^{0} - \tilde{c}_{i}^{0} \alpha_{i}^{0} & & \end{array}$$
 (28)

определяют процедуру поиска решения.

Если заранее известно, что функция $f_0(x)$ имеет минимум на множестве X, то

$$\alpha_i^1 = \alpha_i^0 = 0, \quad l_i^0 = 0, \quad l_i^1 = -\operatorname{sign} \tilde{c}_i^0.$$
 (29)

Ниже иллюстрируется эффективность предлагаемого алгоритма.

	Метод					
№ цикла	Пауэлла		квадратичной аппроксимации			
	c_1	c ₂	c_1	c ₂		
	$\alpha_i^0 = 1, i = 1, 2$		$\alpha_{i}^{0}=1, i=1, 2$			
1 2 3 4 5 6 7 8 9 10 11 12	$\begin{array}{c} 0,61 \\ 0,17\cdot 10^{-3} \\ -0,23\cdot 10^{-2} \\ 0,26\cdot 10^{-3} \\ 0,21\cdot 10^{-3} \\ 0,54\cdot 10^{-5} \\ -0,27\cdot 10^{-3} \\ 0,50\cdot 10^{-4} \\ 0,19\cdot 10^{-3} \\ 0,79\cdot 10^{-4} \\ -0,47\cdot 10^{-4} \\ 0 \\ \alpha_1^{\max} = 256 \end{array}$	$\begin{array}{c} 0.14 \\ 0.59 \cdot 10^{-3} \\ 0.95 \cdot 10^{-6} \\ 0.68 \cdot 10^{-3} \\ -0.59 \cdot 10^{-3} \\ 0.25 \cdot 10^{-3} \\ 0.25 \cdot 10^{-3} \\ -0.15 \cdot 10^{-3} \\ -0.41 \cdot 10^{-3} \\ -0.63 \cdot 10^{-4} \\ 0.66 \cdot 10^{-4} \\ 0 \\ \alpha_2^{\max} = 256 \end{array}$	$ \begin{array}{c c} 0,61 \\ 0,17\cdot 10^{-3} \\ -0,23\cdot 10^{-2} \\ 0,22\cdot 10^{-3} \\ -0,32\cdot 10^{-3} \\ 0 \\ \alpha_1^{\max} = 8,76 \end{array} \begin{array}{c c} 0,14 \\ 0,59\cdot 10^{-3} \\ 0,95\cdot 10^{-6} \\ -0,83\cdot 10^{-3} \\ -0,10\cdot 10^{-3} \\ 0 \\ \alpha_2^{\max} = 7,79 \\ \Sigma M = 2426 \end{array} $			
	$\Sigma M = 8830$ $\alpha_i^0 = 2, i = 1, 2$		$\alpha_i{}^0=2, i=1, 2$			
1 2 3 4 5 6 7 8 9 10 11	$\begin{array}{c} 0.31 \\ 0.50 \cdot 10^{-3} \\ 0.48 \cdot 10^{-3} \\ -0.88 \cdot 10^{-3} \\ 0.40 \cdot 10^{-5} \\ -0.18 \cdot 10^{-3} \\ 0.15 \cdot 10^{-3} \\ 0.60 \cdot 10^{-4} \\ -0.14 \cdot 10^{-3} \\ 0.12 \cdot 10^{-3} \\ 0 \\ \alpha_1^{\text{max}} = 256 \\ \Sigma M = 8 \end{array}$	$ \begin{array}{c c} 0,07 \\ -0,36\cdot10^{-3} \\ -0,38\cdot10^{-3} \\ 0,67\cdot10^{-3} \\ 0,21\cdot10^{-3} \\ 0,35\cdot10^{-4} \\ -0,18\cdot10^{-3} \\ 0,64\cdot10^{-4} \\ -0,59\cdot10^{-4} \\ -0,64\cdot10^{-4} \\ 0 \\ \alpha_2^{\max} = 256 \end{array} $	$ \begin{array}{c} 0.31 \\ 0.50 \cdot 10^{-3} \\ 0.48 \cdot 40^{-3} \\ -0.12 \cdot 10^{-3} \end{array} $ $ \begin{array}{c} 0 \\ \alpha_1^{\text{max}} = 151.7 \\ \Sigma M = 2 \end{array} $	$\begin{array}{c} 0,07 \\ -0,36 \cdot 10^{-3} \\ -0,38 \cdot 10^{-3} \\ -0,39 \cdot 10^{-3} \\ 0 \\ \alpha_2^{\text{max}} = 1,95 \end{array}$		

4. ПРИМЕР

Рассмотрим результаты применения изложенных алгоритмов к решению следующей задачи [2]: минимизировать

при ограничениях $f_0(x) = 1000 - x_1^2 - 2x_2^2 - x_3^2 - x_1x_2 - x_1x_3$ $f_1(x) = x_1^2 + x_2^2 + x_3^2 - 25 = 0,$

 $f_1(x) = x_1^2 + x_2^2 + x_3^2 - 25 = 0,$ $f_2(x) = 8x_1 + 14x_2 + 7x_3 - 56 = 0, \quad x_j \ge 0, \quad j = 1, 2, 3.$ (30)

За критерий эффективности алгоритмов принимаем число циклов безусловной оптимизации, необходимых для получения решения задачи (30) с заданной точностью, при одинаковых начальных значениях α^0 . Для безусловной оптимизации был использован метод Хука — Дживса с начальной точкой $x_j^0=2, j=1, 2, 3,$ и начальным шагом $\partial x_j^0=0, 2, j=1, 2, 3,$ одинаковыми для всех циклов алгоритмов. Расчеты производились на ЭВМ «Минск-32» при следующих константах: в (16) A=2, в (23) p=1, 2.

Значения x_j^{\min} $(l,\alpha), j=1,2,3,$ определялись с точностью 10^{-6} , а конец поиска—

условием: \tilde{c}_i * $<10^{-5}$, i=1, 2. Результаты вычислений сведены в таблицу. Здесь приведены начальные значения α_i ° параметра α , i=1, 2, а также суммарное число шагов поиска ΣM для обоих алгоритмов. Из таблицы видно, что метод условной оптимизации с использованием квадратичной аппроксимации функции возмущений с точки зрения принятого критерия более эффективен.

Дополнительно было исследовано влияние величины параметра α на число шагов M поиска безусловного минимума. Вид функции $M(\alpha)$, который зависит как от начальной точки, так и от поверхности поиска, для рассматриваемого случая изображен на рисунке. Число шагов безусловного поиска пропорционально величине параметра α , поэтому значительное увеличение α нежелательно.

ЛИТЕРАТУРА

1. Численные методы условной оптимизации. М.: Мир, 1977.

2. Химмельблау Д. Прикладное нелинейное программирование. М.: Мир, 1975.

Поступила в редакцию 31 X 1979

О ТЕОРЕМЕ ЭРРОУ ДЛЯ АЛГЕБРЫ КОАЛИЦИЙ

Тангян А.С.

(Москва)

В работе Т. Армстронга [1] строится модель группового выбора К. Эрроу [2] с ограничениями на индивидуальные предпочтения. На множестве участников V рассматривается коалиционная структура, задаваемая булевой алгеброй С (системой подмножеств множества участников, замкнутой относительно операций взятия конечного объединения, пересечения и дополнения), которая и ограничивает дифференциацию участников по предпочтениям. Предполагается, что участники, предпочитающие одну альтернативу другой, всегда должны образовывать коалицию — элемент алгебры. Все остальные компоненты модели К. Эрроу оставлены без изменений.

В качестве предпочтений рассматривается класс \Re всех слабых упорядочений на множестве альтернатив X (|X|) $\geqslant 3$ —бинарные отношения $R \subset X \times X$, асимметричные (из $(x, y) \in R$ для $x, y \in X$ следует $(y, x) \in R$) и отрицательно транзитивные (из $(x, y) \in R$ и $(y, z) \in R$ для $x, y \in X$ следует $(x, z) \in R$). Множеством состояний модели объявляются так называемые профили — отображения $f: V \to \Re$, измеримые относительно алгебры \Re , т. е. такие, что $\{v \in V: (x, y) \in f(v)\} \in \Re$ для любых $x, p \in X$. Агрегирующей функцией Эрроу * называется отображение $\sigma: F \to \Re$ такое, что: 1) соблюдается принцип единогласия: для $x, y \in X$ и $f \in F$ из $(x, y) \in f(v)$ для всех $v \in V$ следует $(x, y) \in G(f)$; 2) групповое предпочтение на паре альтернатив не зависит от индивидуальных предпочтений на других альтернативах, $x \in A$ если на паре альтернатив $x, y \in X$ два профиля $f: g \in F$ совпадают: $f(v) \cap \{x, y, (y, x)\} = g(v) \cap \{(x, y), (y, z)\}$ для всех $v \in V$, то при этих профилях на этой паре альтернатив совпадают и групповые предпочтения: $\sigma(f) \cap \{(x, y), (y, x)\} = \sigma(g) \cap \{(x, y), (y, x)\} = \sigma(v) \cap \{(x, y), (y, x)\}$ для всех $v \in V$, то при этих профилях на этой паре альтернатив совпадают и групповые предпочтения: $\sigma(f) \cap \{(x, y), (y, x)\} = \sigma(g) \cap \{(x, y), (y, x)\} = \sigma(v) \cap \{(x, y), (y, x)\}$ для всех $v \in V$, то при этих профилях на этой паре альтернатив совпадают и групповые булевой алгебры коалиций (напомним что множеством унарафильтров булевой алгебры коалиций (напомним что множеством унарафильтров булевой алгебры коалиций (напомним что множество H непустых элементов булевой алгебры коалиций (напомним что множество H непустых элементов булевой алгебры коалиций (напомним что множество H непустых элементов булевой алгебры коалиций (напомним что множество H непустых элементов булевой алгебры коалиций (напомним что множество H непустых элементов булевой алгебры коалиций (напомним что множество H непустых элементов булевой алгебры коалиций (напомним уто множество H непустых элементов булевой алгебры коали

Изучению аналогичной модели группового выбора посвящены работы [4-7], где, в частности, разбирается вопрос о биекции между множествами агрегирующих функций Эрроу и ультрафильтров. Как показано в [6], в предположениях Т. Армстронга каждому ультрафильтру соответствует целый класс агрегирующих функций Эрроу, состоящий по меньшей мере из двух представителей (предложения 9 и 10). Чтобы множества агрегирующих функций Эрроу и ультрафильтров привести во взаимно-однозначное соответствие, необходимо изменить предпосылки самой модели. Для этого в [6] расширяется класс предпочений (рассматривается множество я асимметричных и транзитивных бинарных отношений на X), содержащий, как известно, слабые упорядочения (транзитивное отношение P на X — это такое, что для x, y, $z \in X$ из $(x, y) \in P$ и $(y, z) \in P$ следует $(x, z) \in P$). Множество профилей (ситуаций) F определяется как совокупность измерительных отображений f: $V \rightarrow \Re$, а агрегирующая функция Эрроу (общественная функция полезности) — как отображе-

^{*} Arrow Social Welfare Function B [1].